

## การศึกษาคุณสมบัติของอิฐทนไฟโดยใช้รายชั้นนาทเป็นวัตถุดิบหลัก

ภาณุวัฒน์ สุริยฉัตร<sup>1</sup> และ สาวโรจน์ ขาวดี<sup>2</sup>

มหาวิทยาลัยเทคโนโลยีพระจอมเกล้าธนบุรี บางมด ทุ่งครุ กรุงเทพฯ 10140

รับเมื่อ 25 กันยายน 2545 ตอบรับเมื่อ 6 สิงหาคม 2546

### บทคัดย่อ

วัตถุประسنค์ของการวิจัยนี้คือศึกษาคุณสมบัติรายบุคคลของอิฐทนไฟที่ผลิตโดยใช้วัตถุดินทรายชั้นนาทเป็นวัตถุดิบหลัก จึงหัวด้วยชั้นนาทผสมกับเรซิโน่ฟลัตส์เพล็ทส์ปาร์ และดินทนไฟในอัตราส่วนต่างๆ เพื่อใช้เป็นวัตถุดิบในการผลิตอิฐทนไฟตามมาตรฐาน ASTM ผลที่ได้เปรียบเทียบกับอิฐทนไฟของที่ผลิตขายทั่วไป 2 ชนิด

รายชั้นนาทมีส่วนประกอบของแร่คอตช์ร้อยละ 80 และเรซิโน่ฟลัตส์เพล็ทส์ปาร์ร้อยละ 20 ซึ่งเป็นตัวประสาน (binder) ตามธรรมชาติ มีขนาดคละกันไม่ค่อยดี มีค่า Fineness Modulus เท่ากับ 1.42 จำแนกตามระบบ Unified Soil Classification จัดเป็นกลุ่ม SP มีชื่อว่า Poorly Graded Sand ได้ทำการทดสอบคุณสมบัติพื้นฐานได้แก่ การดูดซึมน้ำ (water absorption), ความพรุน (apparent porosity), ความถ่วงจำเพาะ (apparent specific gravity), ความหนาแน่น (bulk density), แรงต้านทานเมื่อยืน (cold crushing strength), การนำความร้อน (thermal conductivity), และ การทดสอบตัวหลังการเผา (burning shrinkage) ของส่วนผสมระหว่างรายชั้นนาทกับเรซิโน่ฟลัตส์เพล็ทส์ปาร์ และรายชั้นนาทกับดินทนไฟ ในอัตราส่วนต่างๆ ที่ความดัน 300 350 และ 400 กิโลกรัมต่อตารางเมตร โดยแสดงค่าเปรียบเทียบผลในรูปของตาราง ผลจากการศึกษาสรุปได้ว่ารายชั้นนาท เมื่อผสมกับเรซิโน่ฟลัตส์เพล็ทส์ปาร์ หรือผสมกับดินทนไฟ ในอัตราส่วนที่เหมาะสมสามารถใช้เป็นวัตถุดิบหลักในการผลิตอิฐทนไฟตามมาตรฐาน ASTM นอกจากนี้ได้ให้ข้อเสนอแนะและขอจำกัดสำหรับการศึกษาครั้งนี้

**คำสำคัญ:** รายชั้นนาท / อิฐทนไฟ / โพแทสเซียมเฟล์ดส์ปาร์ / ดินทนไฟ / แรงต้านทานเมื่อยืน / ค่าความนำความร้อน / การทดสอบตัวหลังการเผา

<sup>1</sup> ผู้ช่วยศาสตราจารย์ ภาควิชาวิศวกรรมโยธา

<sup>2</sup> นักศึกษาระดับบัณฑิตศึกษา ภาควิชาวิศวกรรมโยธา

## Properties of Refractory Brick Using Chainat Sand as Raw Material

Phanuwat Suriyachat<sup>1</sup> and Sarot Koadee<sup>2</sup>

King Mongkut's University of Technology Thonburi, Bangmod, Toongkru, Bangkok 10140

*Received 25 September 2002 ; accepted 6 August 2003*

### Abstract

The objective of this paper is to study the utilization of the on land deposited sand from Kuoanoii, Hunka district, Chainat province. By mixing with K-Feldspar and fire clay in various ratios, the Chainat sand is used as raw material for insulator brick production according to ASTM Standard. The results are compared with two commercially available refractory bricks.

Chainat sand consists of 80% Quartz and 20% K-Feldspar which is the natural binder. The grain size distribution of Chainat sand is not well graded with fineness modulus of 1.42. According to Unified Soil Classification system it is in SP group, namely as poorly graded sand. The basic properties of admixtures namely Water Absorption, Apparent porosity, Apparent Specific Gravity, Bulk Density, Cold Crushing Strength, Thermal Conductivity, and Burning Shrinkage at 300, 350, and 400 kg/cm<sup>2</sup> forming pressures are tested and presented in table forms. In conclusion, the Chainat sand mixing in proper ratios with K-Feldspar and fire clay can be used as main raw material for refractory brick according to ASTM standard. Furthermore, some limitations and recommendation are pointed out.

**Keywords :** Chainat Sand / Refractory Brick / K-Feldspar / Fire Clay / Cold Crushing Strength / Thermal Conductivity / Burning Shrinkage

<sup>1</sup> Assistant Professor, Department of Civil Engineering.

<sup>2</sup> Graduate Student, Department of Civil Engineering.

## 1. บทนำ

แหล่งกำเนิดทรัพยากร่องอกเป็น 2 ประเภทคือ ทรัพยากร่อง และทรัพย์นก ทรัพยากร่องเกิดจากการผุพังย่อยสลายของหินทรายยุค Mesozoic ในภาคตะวันออกและหินแกรนิตยุค Cretaceous ในภาคใต้ ถูกชะล้างพัดพามาสะสมในทะเล แล้วถูกอิทธิพลของคลื่นและการยกตัวของแผ่นดิน คัดเอาไว้อีก ที่มีขนาดเล็กและไม่มีชิลิกาออกจนเกือบหมดทำให้มีความบริสุทธิ์สูง ในขณะที่ทรัพย์นกตามที่ร่วนสูญเจ้าพระยาเกิดจากการผุพังย่อยสลายตามธรรมชาติของหินแกรนิตและหินทรายแหล่งต่างๆ ตะกอนจะถูกพัดพามาสะสมตัวโดยแม่น้ำหรือแม่น้ำพามา และมีปริมาณสำรองมหาศาล เช่น ทรัพย์นกบริเวณเขาน้อย จังหวัดชัยนาท ทรัพย์นกจึงมีคุณสมบัติที่แตกต่างกันไปขึ้นกับตัวประทาย ประการได้แก่ ลักษณะการเกิด การสะสมตัว ระบบการพัฒนาหรือการนำพาของน้ำ แหล่งที่ให้กำเนิด การศึกษาคุณสมบัติทางเคมีของทรัพย์นกยังไม่เป็นที่แพร่หลาย เนื่องจากผู้ใช้จะนำทรัพย์นกไปใช้ในการก่อสร้าง และจะให้ความสนใจเกี่ยวกับคุณสมบัติทางกายภาพและลิ่งปนเปื้อนอีก มากกว่า อายุรักษ์ดี จากรายงานของกรมทรัพยากรธรรมชาติวิทยาพบว่ามีการสำรวจและรายงานคุณภาพของตะกอนทรายของแหล่งทรัพย์นกแหล่งไช้ชัดเจน โดยจะพบแร่ประกอบหินแกรนิตสะสมตัวรวมอยู่ด้วย เช่น แร่เฟล์สปาร์ แร่ไมกา [1]

ทรัพย์นกมีคุณสมบัติไม่แน่นอน บางแหล่งมีคุณภาพสูง มีชิลิกาถึงร้อยละ 98 บางแหล่งมีคุณภาพต่ำ มีชิลิการ้อยละ 60-80 ขึ้นอยู่กับลักษณะการเกิด การพัฒนา การคัดพาก และการขัดสีตามธรรมชาติ ทำให้มีการดำเนินการแต่งแร่ทรัพย์นกคุณภาพดีเพื่อใช้ในอุตสาหกรรมกระเจ阔และแก้วบ้างแล้วเช่นที่อำเภอพนมสารคาม จังหวัดฉะเชิงเทรา สิน ลินสกุล [2] รายงานว่า ปริมาณทรัพย์นกถูกนำมาใช้งานจริงในประเทศไทย ยังไม่มีการจดบันทึกไว้ในภาคการก่อสร้างประมาณว่าตั้งแต่ปี 2540-2547 จะมีการใช้ปูนซิเมนต์ภายในประเทศประมาณ 451.71 ล้านตัน คิดเป็นส่วนผสมทรายประมาณ 900 ล้านตัน ทั้งนี้ไม่รวมทรัพย์นกที่ใช้ในการปรับพื้นที่ และประมาณว่าประเทศไทยมีการใช้ทรัพย์นกในการก่อสร้างประมาณร้อยละ 85 และภาคอุตสาหกรรมร้อยละ 15

อิฐทนไฟเป็นวัสดุที่ใช้เป็นผลิตภัณฑ์ของอุตสาหกรรมเซรามิกที่ใช้ประโยชน์ไม่เฉพาะแต่ในอุตสาหกรรมเซรามิกเท่านั้น หากยังใช้ประโยชน์อย่างกว้างขวางในอุตสาหกรรมอื่นๆ ที่ต้องใช้ความร้อนสูงในการผลิต เช่น เตาเผาโลหะในอุตสาหกรรมเหล็ก เตาเผาผลิตไอน้ำเพื่อผลิตกระแสไฟฟ้าและอื่นๆ การใช้อิฐทนไฟส่วนใหญ่ใช้ในการก่อสร้างเตาเผานิดต่างๆ รูปลักษณะและขนาดของอิฐจะมีต่างๆ ทั้งนี้เพื่อประโยชน์ในการก่อสร้างให้ได้รูปแบบและขนาดตามความต้องการของแบบแปลน ซึ่งการผลิตอิฐทนไฟแต่ละชนิดสามารถทำได้หลายวิธีด้วยกันแต่ทุกวิธีมีหลักการในการขึ้นรูปอิฐเหมือนๆ กัน คือ ผสมวัสดุอันได้แก่ ดินทนไฟ ดินเหนียว ดินขาว หรือดินเคลินเป็นหลัก รวมกับวัสดุเสริมของอิฐทนไฟแต่ละชนิดและน้ำในเครื่องผสม แล้วนำมาอัดขึ้นรูปด้วยเครื่องไฮดรอลิก คุณสมบัติของอิฐสามารถศึกษาเพิ่มเติมได้จากเอกสาร [3]-[6] วัสดุประสงค์ของการวิจัยนี้คือศึกษาคุณสมบัติทรัพย์นกจากแหล่งเขาน้อย อำเภอหันคา จังหวัดชัยนาท นำผลสมกับแร่โพแทสเซียมเฟล์สปาร์และดินทนไฟ ในอัตราส่วนต่างๆ เพื่อใช้เป็นวัสดุดีบในการผลิตอิฐทนไฟตามมาตรฐาน ASTM เป็นโครงการวิจัยพื้นฐานในการเพิ่มมูลค่าของทรัพย์นกแทนที่จะนำไปใช้เฉพาะการก่อสร้างซึ่งมีมูลค่าต่ำกว่าต่ำ

## 2. วัสดุ อุปกรณ์ และวิธีการทดสอบ

### 2.1 ตัวอย่างทราย

ตัวอย่างทรายบกที่ใช้ทดสอบเก็บจากบริเวณ เขาน้อย อำเภอหันคา จังหวัดชัยนาท

### 2.2 การเตรียมวัตถุดิบ

ขั้นรูปส่วนผสมวัตถุดิบเป็นก้อนลูกบาศก์ขนาดด้านละ 50 มม. ตามมาตรฐาน ASTM C 20-97 หลังขั้นรูปแล้วผึงให้แห้ง 1 วัน แล้วเผาด้วยอุณหภูมิ  $1,310^{\circ}\text{C}$  เป็นเวลา 12 ชั่วโมง สำหรับหลอมตัวอย่างทดสอบ เพราะว่าเป็นอุณหภูมิหลอมตัวของแร่โพแทลเซียมเฟล์ดสปาร์

### 2.3 การปรับอัตราส่วนในการผสมตัวอย่างทดสอบ

นำทรายชัยนาทผสมแร่โพแทลเซียมเฟล์ดสปาร์ (K-feldspar) ให้ได้อัตราส่วนผสมทรายชัยนาทต่อแร่โพแทลเซียมเฟล์ดสปาร์ เท่ากัน 80:20, 70:30, 60:40 และ 50:50 ให้เชื่อว่าอิฐชัยนาทโพแทล และผสมดินทนไฟให้ได้อัตราส่วนผสมทรายชัยนาทต่อดินทนไฟ เท่ากัน 90:10, 80:20, 70:30, 60:40 และ 50:50 ให้เชื่อว่าอิฐชัยนาทดินทนไฟ ดังแสดงในตารางที่ 1

ตารางที่ 1 ลักษณะและอัตราส่วนในการผสมตัวอย่างทดสอบ

ลักษณะ	อิฐชัยนาทโพแทล		ลักษณะ	อิฐชัยนาทดินทนไฟ	
	ทรายชัยนาท (ร้อยละ)	โพแทลเซียม เฟล์ดสปาร์ (ร้อยละ)		ทรายชัยนาท (ร้อยละ)	ดินทนไฟ (ร้อยละ)
S8K2	80	20	S9F1	90	10
S7K3	70	30	S8F2	80	20
S6K4	60	40	S7F3	70	30
S5K5	50	50	S6F4	60	40
			S5F5	50	50

### 2.4 วิธีการทดสอบแรงด้านทานเมื่อยืน

โดยวิธีการทดสอบตามมาตรฐาน ASTM C 135-97 [8]

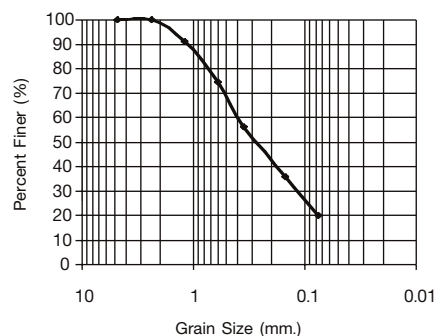
### 2.5 วิธีการทดสอบการนำความร้อน

ใช้การทดสอบทางอ้อมโดยการวัดอุณหภูมิเบรย์บเทียบกับอิฐทนไฟจากโรงงานของบริษัทสยามวัสดุ ทนไฟและบริษัทบางกอกแสงไทยจำกัด แล้วนำมาคำนวณหาค่าความนำความร้อน มีขั้นตอนการทดสอบดังนี้ นำอิฐทดสอบที่ขึ้นรูปเผาแล้ว โดยเลี้ยงแทนผนังเดาดังรูปที่ 1 โดยจะเลี้ยงอิฐทดสอบตั้งแต่เริ่มใช้เตาเผาจับเวลา จนกระทั้งอุณหภูมิคงที่กำหนด แล้วปรับอุณหภูมิให้คงที่ ทำการวัดอุณหภูมิ จากอิฐทดสอบด้านนอกผนัง จนได้อุณหภูมิคงที่

บันทึกค่า จะได้ผลต่างอุณหภูมิช้างในเตาและนอกเตา ทำการทดลองที่อุณหภูมิในเตาเพาเท่ากับ 700, 800, 900 และ 1,000 °ซ แล้วหาค่าเฉลี่ยเป็นคำตอบ ต่อจากนั้นทดสอบการนำความร้อนของอิฐทนไฟ จากบริษัทที่หนึ่ง (อิฐสยาม) และบริษัทที่สอง (อิฐบางกอก) แล้วเปรียบเทียบผลการทดสอบกับอิฐชั้นนาทตามแนวทาง ASTM C 20-97 และ C 133-97 [8]



รูปที่ 1 ภาพด้านบนของเตาเพาที่ใช้ทดสอบ



รูปที่ 2 Grain-Size Distribution Curve ของรายชั้นนาท

## 2.6 วิธีการทดสอบหากการทดสอบตัวหลังการเผา

วัดความยาวของตัวอย่างก่อนเข้าเตาเพาและหลังจากเผาที่อุณหภูมิ 1,310 °ซ เป็นเวลา 12 ชั่วโมง และปล่อยให้เย็นที่อุณหภูมิห้อง [9] คำนวนค่าการทดสอบตัว

## 3. ผลการทดลองและการวิเคราะห์ผล

### 3.1 ผลการวิเคราะห์ทางแร่วิทยาของรายชั้นนาท

จากการวิเคราะห์ด้วยกล้องจุลทรรศน์ รายนกจากแหล่งเขาน้อย อำเภอหันคา จังหวัดชัยนาท มีส่วนประกอบของแร่ควอตซ์ ( $\text{SiO}_2$ ) ร้อยละ 80 และแร่โพแทสเซียมเฟล์ดสปาร์ ( $\text{KAlSi}_3\text{O}_8$ ) ร้อยละ 20 ซึ่งแร่โพแทสเซียมเฟล์ดสปาร์ เป็นตัวประสานตามธรรมชาติในการทำอิฐทนไฟ

### 3.2 ผลการทดสอบการกระจายขนาดของรายชั้นนาท

รูปที่ 2 แสดงการกระจายขนาด (Grain-Size Distribution Curve) ของรายชั้นนาท จะเห็นว่ารายชั้นนาทมีขนาดเดียว กันเป็นส่วนใหญ่ เน้นกราฟจะมีลักษณะค่อนข้างชัน มีค่า Fineness Modulus เท่ากับ 1.42 ซึ่งเป็นค่าความละเอียดสูงตาม Unified Soil Classification system จัดเป็นกลุ่ม SP มีชื่อว่า poorly graded sand

### 3.3 ผลการทดสอบคุณสมบัติพื้นฐานของอิฐชั้นนาท

อิฐชั้นนาทมีคุณสมบัติพื้นฐานได้แก่ ค่าการดูดซึมน้ำ, ค่าความพรุน, ค่าความถ่วงจำเพาะ, และค่าความหนาแน่น ในอัตราส่วนผสานต่างๆ กับแร่โพแทสเซียมเฟล์ดสปาร์ และแร่ตินทันไฟ ที่ความดัน 300-350 และ 400 กก./ซม.<sup>2</sup> เปรียบเทียบกับอิฐสยามและอิฐบางกอกดังแสดงในตารางที่ 2

### 3.4 ผลการทดสอบแรงด้านทานเมื่อเย็น

ผลการทดสอบแรงด้านทานเมื่อเย็นของอิฐชั้นนาทโพแทส ที่ขันรูปด้วยความดัน 300 350 และ 400 กก./ซม.<sup>2</sup> แสดงในรูปที่ 3 แรงด้านทานเมื่อเย็นที่อัตราส่วนผสมต่างๆ จะเห็นว่าที่ส่วนผสมเดียวกันแต่เพิ่มความดันของการขันรูป แรงด้านทานเมื่อเย็นมีค่าเพิ่มขึ้น เป็นไปตามหลักที่ว่าเมื่อเพิ่มความดันในการขันรูปการประสานของทรายกับแร่โพแทสเซียมเฟล์สปาร์ของเนื้ออิฐจะดีขึ้น แต่กรณีส่วนผสมต่างกันโดยเพิ่มร้อยละ แร่โพแทสเซียมเฟล์สปาร์ ขันรูปด้วยความดันเท่ากันจะได้แรงด้านทานเมื่อเย็น มีแนวโน้มไม่แน่นอน กลุ่มนี้มีค่าสูงสุดเท่ากับ 126 กก./ซม.<sup>2</sup> ของตัวอย่าง S7K3 และค่าต่ำสุดเท่ากับ 118 กก./ซม.<sup>2</sup> ของตัวอย่าง S6K4 รูปที่ 4 แสดงผลการทดสอบแรงด้านทานเมื่อเย็นของอิฐชั้นนาทดินทนไฟ พบว่าถ้าขันรูปด้วยส่วนผสมเดียวกันแต่ความดันขันรูปเพิ่มขึ้น จะได้แรงด้านทานเมื่อเย็นเพิ่มขึ้น เหตุผลเช่นเดียวกับของอิฐชั้นนาทโพแทส แต่ที่อัตราส่วนผสมต่างกันโดยเพิ่มร้อยละของดินทนไฟและขันรูปด้วยความดันเท่ากัน จะได้แรงด้านทานเมื่อเย็นมีแนวโน้มเพิ่มขึ้น กลุ่มนี้มีค่าสูงสุดเท่ากับ 172 กก./ซม.<sup>2</sup> ของตัวอย่าง S6F4 และค่าต่ำสุดเท่ากับ 124 กก./ซม.<sup>2</sup> ของตัวอย่าง S9F1 เมื่อเปรียบเทียบกับค่าของอิฐสยามมีค่าเท่ากับ 186 กก./ซม.<sup>2</sup> และอิฐบางกอกมีค่าเท่ากับ 171 กก./ซม.<sup>2</sup>

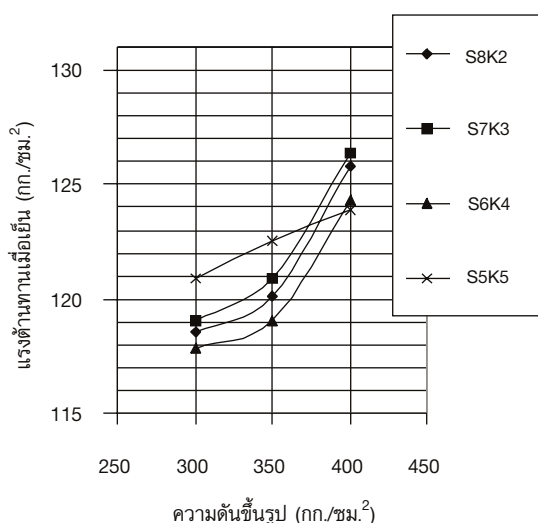
### 3.5 ผลการทดสอบการนำความร้อน

รูปที่ 5 แสดงค่าการนำความร้อน (K) ของอิฐชั้นนาทโพแทสและของอิฐชั้นนาทดินทนไฟ ในอัตราส่วนผสมต่างๆ ที่ความดันขันรูป 300 350 และ 400 กก./ซม.<sup>2</sup> เมื่อเปรียบเทียบกับค่า K ของอิฐสยามและอิฐบางกอกซึ่งมีค่า K เท่ากับ 0.50 kcal./hr.m.<sup>-2</sup> °C และ 0.55 kcal./hr.m.<sup>-2</sup> °C ตามลำดับ

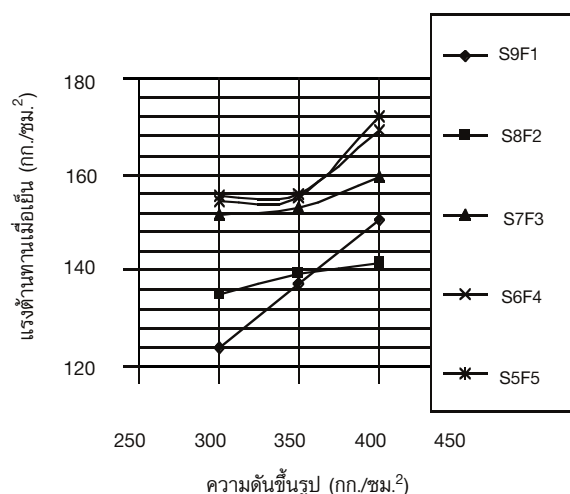
ผลการทดสอบค่า K ของอิฐชั้นนาทโพแทสและของอิฐชั้นนาทดินทนไฟ ที่อัตราส่วนผสมต่างกัน พบว่าถ้าอัตราส่วนผสมเท่ากันแต่การขันรูปด้วยความดันมากขึ้นค่า K ที่ได้มีค่าแนวโน้มสูงขึ้น มีค่าแนวโน้มเพิ่มขึ้น เป็นไปตามหลักที่ว่าเมื่อเพิ่มความดันในการขันรูปการประสานของทรายกับแร่โพแทสเซียมเฟล์สปาร์หรือกับดินทนไฟของเนื้ออิฐจะดีขึ้น การถ่ายเทความร้อนก็ดีขึ้น ซึ่งค่า K สูงขึ้นถือว่าคุณภาพการเป็นฉนวนทนไฟลดลง เมื่อเปรียบเทียบกับค่า K ของอิฐของสองบริษัท จะพบว่ากลุ่มที่มีค่า K สูงกว่าได้แก่ S9F1, S8F2, S7F3, S6F4, S5K5, และ S5F5 ส่วนกลุ่มที่มีค่า K ต่ำกว่าได้แก่ S8K2, S7K3, และ S6K4

**ตารางที่ 2 คุณสมบัติพื้นฐานของอิฐชั้นนาท อิฐสยาม และอิฐบางกอก**

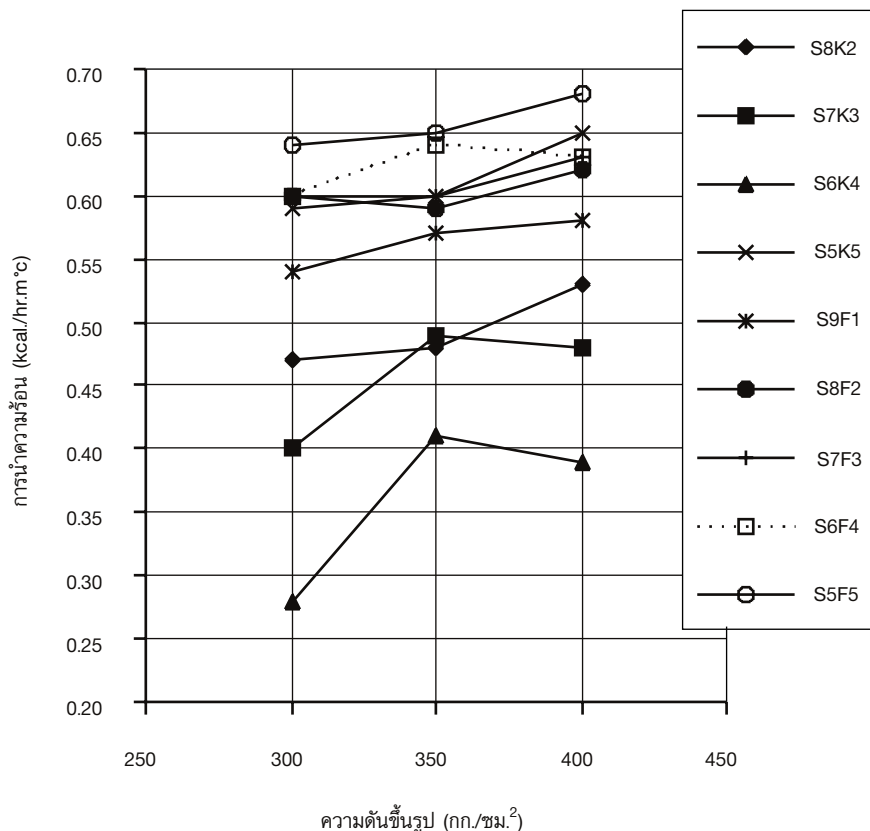
สัญลักษณ์	ความตันของการขึ้นรูป (กก./ซม. <sup>2</sup> )			คุณสมบัติพื้นฐาน			
				การดูดซึมน้ำ (%)	ความพรุน (%)	ความถ่วงจำเพาะ	ความหนาแน่น (กรัม/ลบ.ซม.)
S8K2	300			13.88	30.67	3.19	2.21
S7K3	300			14.84	32.35	3.22	2.18
S6K4	300			16.50	35.69	3.36	2.16
S5K5	300			12.94	28.48	3.08	2.20
S8K2		350		13.28	29.61	3.17	2.23
S7K3		350		14.49	31.88	3.23	2.20
S6K4		350		15.42	33.78	3.31	2.19
S5K5		350		11.57	26.74	3.15	2.31
S8K2			400	11.83	28.16	3.31	2.38
S7K3			400	13.86	30.92	3.23	2.23
S6K4			400	15.38	33.92	3.34	2.21
S5K5			400	10.61	25.99	3.31	2.45
S9F1	300			14.69	25.61	2.34	1.74
S8F2	300			14.55	24.88	2.28	1.71
S7F3	300			13.92	24.80	2.37	1.74
S6F4	300			12.54	23.07	2.39	1.84
S5K5	300			12.11	22.88	2.45	1.89
S9F1		350		13.25	25.04	2.52	1.89
S8F2		350		13.72	24.00	2.30	1.75
S7F3		350		13.14	23.91	2.39	1.82
S6F4		350		11.56	23.00	2.58	1.99
S5K5		350		11.02	22.05	2.57	2.00
S9K1			400	11.55	23.91	2.72	2.07
S8K2			400	12.83	23.99	2.46	1.87
S7K3			400	10.55	22.27	2.71	2.11
S6K4			400	10.33	22.01	2.73	2.13
S5K5			400	8.50	22.06	2.95	2.36
อิฐสยาม				10.61-16.50	25.99-35.69	3.15-3.36	2.16-2.45
อิฐบางกอก				8.50-14.69	22.01-25.61	2.28-2.95	1.71-2.36



รูปที่ 3 แรงต้านทานเมื่อเย็น  
ของอิฐซ้ายนาทโพแทลส์



รูปที่ 4 แรงต้านทานเมื่อเย็น  
ของอิฐซ้ายนาทดินทนไฟ

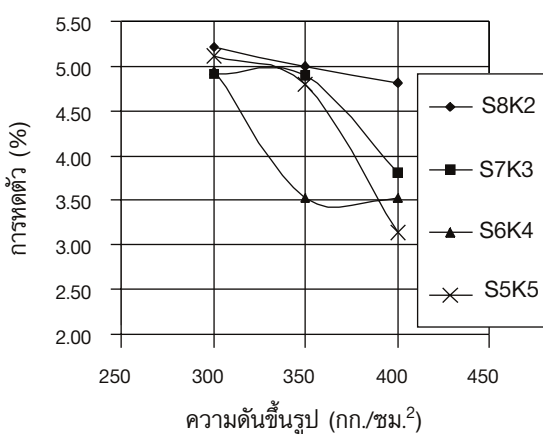


รูปที่ 5 ค่าการนำความร้อนของอิฐซ้ายนาทโพแทลส์และอิฐซ้ายนาทดินทนไฟ

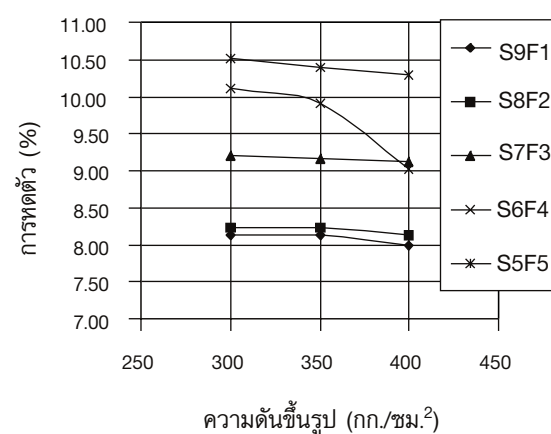
ค่า K สูงสุดเท่ากับ  $0.65 \text{ kcal./hr.m.}^{\circ}\text{C}$  ของตัวอย่าง S5K5 และมีค่าต่ำสุดเท่ากับ  $0.28 \text{ kcal./hr.m.}^{\circ}\text{C}$  ของตัวอย่าง S6K4 แต่ที่อัตราส่วนผสมต่างกันโดยขึ้นรูปด้วยความดันเดียวกันการเพิ่มปริมาณเรโนแทลเชียมเฟล์สปาร์หรือดินทนไฟของเนื้ออิฐ จะได้ค่า K มีแนวโน้มลดลงถือว่าคุณภาพการเป็นฉนวนทนไฟดีขึ้น สรุปผลจากการทดสอบค่า K สูงสุดมีค่าสูงกว่าของอิฐของสองบริษัทประมาณร้อยละ 26 ส่วนค่า K ต่ำสุดมีค่าต่ำกว่าอิฐของสองบริษัทประมาณร้อยละ 100

### 3.6 ผลการทดสอบการทดสอบตัวหลังการเผา

รูปที่ 6 และรูปที่ 7 แสดงค่าการทดสอบตัวหลังการเผา ของอิฐชั้นนาทโพแทลและอิฐชั้นนาทดินทนไฟ ในอัตราส่วนผสมต่างๆ ที่ความดันขึ้นรูป  $300$   $350$  และ  $400 \text{ กก./ซม.}^2$  รูปที่ 6 แสดงผลการทดสอบการทดสอบตัวหลังการเผาของอิฐชั้นนาทโพแทล พบร่วมที่ส่วนผสมเท่ากันแต่ขึ้นรูปด้วยความดันมากขึ้น ค่าการทดสอบตัวมีแนวโน้มลดลง ถ้าอัตราส่วนผสมต่างกันการเพิ่มเรโนแทลเชียมเฟล์สปาร์ที่ขึ้นรูปด้วยความดันเท่ากัน ค่าการทดสอบตัวมีแนวโน้มลดลง ค่าการทดสอบตัวสูงสุดร้อยละ  $5.22$  ของตัวอย่าง S8K2 และมีค่าต่ำสุดเท่ากับร้อยละ  $3.13$  ของตัวอย่าง S5K5 รูปที่ 7 แสดง ผลการทดสอบการทดสอบตัวหลังการเผาของอิฐชั้นนาทดินทนไฟ พบร่วมที่ส่วนผสมเท่ากันแต่ขึ้นรูปด้วยความดันมากขึ้น ค่าการทดสอบตัวมีแนวโน้มลดลง แต่ถ้าอัตราส่วนต่างกันการเพิ่มดินทนไฟที่ขึ้นรูปด้วยความดันเดียวกัน ค่าการทดสอบตัวมีแนวโน้มเพิ่มขึ้นตรงข้ามกับค่าของอิฐชั้นนาทโพแทล กลุ่มนี้ได้ค่าสูงสุดเท่ากับร้อยละ  $10.51$  ของตัวอย่าง S6F4 และได้ค่าต่ำสุดเท่ากับร้อยละ  $7.98$  ของตัวอย่าง S9F1 สรุปได้ว่าค่าการทดสอบตัวของอิฐชั้นนาทโพแทลใกล้เคียงกับมาตรฐาน ASTM คือร้อยละ  $3-5$  ส่วนของทรายชั้นนาทดินทนไฟมีค่าเกินมาตรฐาน



รูปที่ 6 การทดสอบตัวหลังการเผา  
ของอิฐชั้นนาทโพแทล



รูปที่ 7 การทดสอบตัวหลังการเผา  
ของอิฐชั้นนาทดินทนไฟ

#### 4. บทสรุปและข้อเสนอแนะ

##### ผลจากการศึกษาสรุปได้ดังนี้

1. ทรัพย์ชั้นนาท มีส่วนประกอบของแร่ควอตซ์ร้อยละ 80 และเรอโพแทลสเซียมเฟล์สปาร์ร้อยละ 20 ซึ่งเรอโพแทลสเซียมเฟล์สปาร์เป็นตัวประสานตามธรรมชาติ มีขนาดเดียวกันเป็นส่วนใหญ่ มีขนาดคละกันไม่ค่อยดี มีค่า Fineness Modulus เท่ากับ 1.42 จำแนกตาม Unified Soil Classification system จัดเป็นกลุ่ม SP มีชื่อว่า poorly graded sand

2. อิฐชั้นนาทโพแทลส์มีค่าความหนาแน่นระหว่าง 2.16-2.45 กรัม/ลบ.ซม. มีค่าความถ่วงจำเพาะระหว่าง 3.15-3.36 มีค่าความพรุนระหว่าง 25.99-35.69 และมีค่าการดูดซึมน้ำร้อยละ 10.61-16.50 ขณะที่อิฐชั้นนาทดินทรายมีค่าความหนาแน่นระหว่าง 1.71-2.36 กรัม/ลบ.ซม. มีค่าความถ่วงจำเพาะระหว่าง 2.28-2.95 มีค่าความพรุนระหว่าง 22.01-25.61 และมีค่าการดูดซึมน้ำร้อยละ 8.50-14.69 เมื่อเทียบกับคุณสมบัติของอิฐสยามและอิฐบ้านกอกแล้วเป็นคุณสมบัติที่ยอมรับได้ในทางการค้า

3. ผลการทดสอบแรงดันทานเมื่อยื่นของอิฐชั้นนาททั้งสองชนิด จะเห็นว่าที่ส่วนผสมเดียวกันแต่ความดันขึ้นรูปเพิ่ม แรงดันทานเมื่อยื่นจะมีค่าเพิ่มขึ้น แต่ถ้าส่วนผสมต่างกันโดยเพิ่มร้อยละดินทรายที่ขึ้นรูปด้วยความดันเท่ากัน แรงดันทานเมื่อยื่นจะมีแนวโน้มเพิ่มขึ้น เมื่อเปรียบเทียบกับค่าสูงสุดของอิฐชั้นนาททั้งสองชนิด เทียบกับของอิฐสยามและอิฐบ้านกอกมีค่าต่ำกว่าประมาณร้อยละ 10

4. ผลการทดสอบค่าการนำความร้อนของอิฐชั้นนาท ที่อัตราส่วนผสมต่างกัน พบร้าถ้าอัตราส่วนผสมเท่ากันแต่การขึ้นรูปด้วยความดันสูงขึ้น ค่าการนำความร้อนที่ได้มีค่าแนวโน้มสูงขึ้น แต่ที่อัตราส่วนผสมขึ้นรูปต่างกันโดยขึ้นรูปด้วยความดันเดียวกัน จะได้ค่าการนำความร้อนมีแนวโน้มลดลง มีค่าอยู่ระหว่าง 0.28-0.65 kcal./hr.m.<sup>2</sup> และค่าการนำความร้อนสูงสุดมีค่าสูงกว่าอิฐของสองบริษัทประมาณร้อยละ 26 ส่วนค่าการนำความร้อนต่ำสุดมีค่าต่ำกว่าอิฐของสองบริษัทประมาณร้อยละ 100

5. ผลการทดสอบค่าการทดสอบด้วยการเผาของอิฐชั้นนาททั้งสองชนิด ที่ส่วนผสมเท่ากันแต่ขึ้นรูปด้วยความดันมากขึ้น ค่าการทดสอบต่ำมีแนวโน้มลดลง ถ้าอัตราส่วนผสมต่างกันการเพิ่มเรอโพแทลสเซียมเฟล์สปาร์หรือดินทรายที่ขึ้นรูปด้วยความดันเท่ากัน ค่าการทดสอบต่ำมีแนวโน้มตรงกันข้าม ค่าการทดสอบตัวของอิฐชั้นนาทโพแทลส์ได้มาตรฐาน ASTM

6. ผลจากการศึกษาสรุปได้ว่าทรัพย์ชั้นนาท เมื่อผสมกับเรอโพแทลสเซียมเฟล์สปาร์ หรือผสมกับดินทรายจะให้ค่าคุณสมบัติที่หลากหลาย สามารถเลือกใช้อัตราส่วนผสมที่เหมาะสมตามความต้องการ สามารถใช้เป็นวัสดุดีบหลักในการผลิตอิฐทรายไฟได้ตามมาตรฐาน ASTM

##### ข้อเสนอแนะและข้อจำกัดมีดังนี้

1. การศึกษาวิจัยนี้ ได้มุ่งเน้นหาคุณสมบัติพื้นฐานทางกายภาพของอิฐทรายไฟโดยใช้ทรัพย์ชั้นนาทโดยไม่ได้แยกขนาดผสมกับเรอโพแทลสเซียมเฟล์สปาร์ ถ้ามีการศึกษาวิจัยเพิ่มเติมโดยแยกขนาดผสมสามารถนำผลเปรียบเทียบกันได้อีก น่าจะหาได้ว่าทรัพย์ชั้นนาทที่มีคุณภาพดียังไง

2. ควรผสมตัวประสานหลากหลาย เพื่อประโยชน์ทางเศรษฐกิจและมีคุณภาพดียังไง

3. ควรปรับเปลี่ยนอุณหภูมิในเตาหลอมตัวอย่างเพื่อหาจุดหลอมตัวที่เหมาะสม ควรศึกษาอัตราส่วนของน้ำในการผสมตัวอย่างขึ้นรูปว่ามีความเหมาะสมที่อัตราส่วนใด
4. การศึกษานี้ไม่ได้ทางค่า Pyrometric Cone Equivalent (PCE), Thermal Shock, Reheat Test เพื่อหาจุดหลอมตัวของอิฐทนไฟ ตามมาตรฐาน ASTM C 24-89 ซึ่งจะทนไฟที่อุณหภูมิต่างกัน ก่อนที่จะหลอมบุบตัวเนื่องจากไม่มีเครื่องมือสำหรับการทดสอบ

## 5. กิจกรรมประการ

ผู้ทำการวิจัยขอขอบคุณ คุณณรงค์ ยืนยงหัตถกรณ์ ซึ่งได้ให้คำแนะนำ แนวทาง วิธีการและขั้นตอนในการศึกษา ตลอดจนช่วยติดตาม ดูแล และให้คำปรึกษาในการแก้ไขปัญหาต่างๆ ที่เกิดขึ้นระหว่างการดำเนินงาน และขอขอบคุณ กรมทรัพยากรธรณี ที่อนุเคราะห์สถานที่และอุปกรณ์และความช่วยเหลือในการทำงาน ทำให้การศึกษาวิจัยนี้สำเร็จได้ด้วยดี

## 6. เอกสารอ้างอิง

1. ชวälit ธรรมรักษ์, 2541, “มาตรฐานและการใช้ประโยชน์จากทรัพยากรทรายในประเทศไทย สำหรับคونเกร็ฟสมเสร็จ,” เอกสารประกอบการสัมมนาวิชาการธรณีวิทยา, กรมทรัพยากรธรณี, 116-119.
2. ลิน ลินสกุล, 2540, “ทรายในประเทศไทย,” เอกสารประกอบการสัมมนาวิชาการธรณีวิทยา, กรมทรัพยากรธรณี, หน้า 1-12.
3. Parmelee, C.W., 1975, *Ceramic Glazes*, 3<sup>rd</sup> ed., Massachusetts, CBI Publishing, pp. 175-177.
4. Grim, R.E., 1981, *Apply Clay Mineralogy*, Singapore, McGraw-Hill, pp. 132-139.
5. James, S.R., 1986, *Introduction to the Principle of Ceramic Processing*, Singapore, McGraw-Hill, pp. 41-42.
6. Nandi, D.N., 1987, *Handbook on Refractory*, New Delhi, McGraw-Hill, pp. 30-31.
7. ณรงค์ ยืนยงหัตถกรณ์ และ อัมพร จิตต์สมบูรณ์, 2540, “แนวทางการเพิ่มน้ำหนักแหล่งเช่าน้อย อำเภอทันค่า จังหวัดชัยนาท,” เอกสารประกอบการสัมมนาวิชาการธรณีวิทยา, กรมทรัพยากรธรณี, หน้า 3-17.
8. American Society for Testing and Material, 2000, “ASTM Designation C 20-97, ASTM Designation C 128, ASTM Designation C 133-97, ASTM Designation C 201-93, ASTM Designation C 135-97,” *Annual Book of ASTM Standard*, Vol. 04.01, Philadelphia, ASTM, pp. 149-162.
9. ปรีดา พิมพ์ขาวขา, 2539, “วัสดุทนไฟ,” สารสารเชรามิกส์, พิมพ์ครั้งที่ 4, หน้า 490-495.